

# Low energy approximations of the Feynman path integral for Schrödinger evolution operators

宮西 吉久

大阪大学 基礎工学研究科

February 14, 2014

# §1 Introduction and Motivation

- ・量子化の方法の比較

- (その 1) 正準量子化

$$A, B \in C^\infty(T^*\mathbf{R}^n)$$

## §1 Introduction and Motivation

- ・量子化の方法の比較

(その1) 正準量子化

$$A, B \in C^\infty(T^*\mathbf{R}^n)$$

$$\{A, B\} = \sum_{\alpha} \left( \frac{\partial A}{\partial x_\alpha} \frac{\partial B}{\partial p_\alpha} - \frac{\partial B}{\partial x_\alpha} \frac{\partial A}{\partial p_\alpha} \right) \quad \text{Poisson Bracket}$$

## §1 Introduction and Motivation

・量子化の方法の比較

(その1) 正準量子化

$$A, B \in C^\infty(T^*\mathbf{R}^n)$$

$$\{A, B\} = \sum_{\alpha} \left( \frac{\partial A}{\partial x_\alpha} \frac{\partial B}{\partial p_\alpha} - \frac{\partial B}{\partial x_\alpha} \frac{\partial A}{\partial p_\alpha} \right) \quad \text{Poisson Bracket}$$

$$\hat{A}, \hat{B} \in \mathcal{L}(L^2(\mathbf{R}^n))$$

$$[\hat{A}, \hat{B}] = i\hbar \widehat{\{A, B\}} \quad \text{正準量子化}$$

$$(\text{i.e. } \hat{x} = x, \hat{p} = \frac{\hbar}{i} \frac{\partial}{\partial x})$$

# §1 Introduction and Motivation

・量子化の方法の比較

(その1) 正準量子化

$$A, B \in C^\infty(T^*\mathbf{R}^n)$$

$$\{A, B\} = \sum_{\alpha} \left( \frac{\partial A}{\partial x_\alpha} \frac{\partial B}{\partial p_\alpha} - \frac{\partial B}{\partial x_\alpha} \frac{\partial A}{\partial p_\alpha} \right) \quad \text{Poisson Bracket}$$

$$\hat{A}, \hat{B} \in \mathcal{L}(L^2(\mathbf{R}^n))$$

$$[\hat{A}, \hat{B}] = i\hbar \widehat{\{A, B\}} \quad \text{正準量子化}$$

$$(\text{i.e. } \hat{x} = x, \hat{p} = \frac{\hbar}{i} \frac{\partial}{\partial x}).$$

(その2) Feynman 経路積分量子化 (まず大雑把に)

$$H(x, p) \in C^\infty(T^*\mathbf{R}^n)$$

$a(t, x, y)$  : suitable symbol,  $S(t, x, y)$  : phase function defined by  $H$ .

# §1 Introduction and Motivation

・量子化の方法の比較

(その1) 正準量子化

$$A, B \in C^\infty(T^*\mathbf{R}^n)$$

$$\{A, B\} = \sum_{\alpha} \left( \frac{\partial A}{\partial x_\alpha} \frac{\partial B}{\partial p_\alpha} - \frac{\partial B}{\partial x_\alpha} \frac{\partial A}{\partial p_\alpha} \right) \quad \text{Poisson Bracket}$$

$$\hat{A}, \hat{B} \in \mathcal{L}(L^2(\mathbf{R}^n))$$

$$[\hat{A}, \hat{B}] = i\hbar \{A, B\} \quad \text{正準量子化}$$

$$(\text{i.e. } \hat{x} = x, \hat{p} = \frac{\hbar}{i} \frac{\partial}{\partial x})$$

(その2) Feynman 経路積分量子化 (まず大雑把に)

$$H(x, p) \in C^\infty(T^*\mathbf{R}^n)$$

$a(t, x, y)$  : suitable symbol,  $S(t, x, y)$  : phase function defined by  $H$ .

$$U(t)f(x) \equiv \text{Os} \int_{\mathbf{R}^n} a(t, x, y) \exp\left\{\frac{i}{\hbar} S(t, x, y)\right\} f(y) dy$$

# §1 Introduction and Motivation

・量子化の方法の比較

(その1) 正準量子化

$$A, B \in C^\infty(T^*\mathbf{R}^n)$$

$$\{A, B\} = \sum_{\alpha} \left( \frac{\partial A}{\partial x_\alpha} \frac{\partial B}{\partial p_\alpha} - \frac{\partial B}{\partial x_\alpha} \frac{\partial A}{\partial p_\alpha} \right) \quad \text{Poisson Bracket}$$

$$\hat{A}, \hat{B} \in \mathcal{L}(L^2(\mathbf{R}^n))$$

$$[\hat{A}, \hat{B}] = i\hbar \{A, B\} \quad \text{正準量子化}$$

$$(\text{i.e. } \hat{x} = x, \hat{p} = \frac{\hbar}{i} \frac{\partial}{\partial x})$$

(その2) Feynman 経路積分量子化 (まず大雑把に)

$$H(x, p) \in C^\infty(T^*\mathbf{R}^n)$$

$a(t, x, y)$  : suitable symbol,  $S(t, x, y)$  : phase function defined by  $H$ .

$$U(t)f(x) \equiv \text{Os} \int_{\mathbf{R}^n} a(t, x, y) \exp\left\{\frac{i}{\hbar} S(t, x, y)\right\} f(y) dy$$

$$\lim_{N \rightarrow \infty} [U(\frac{t}{N})]^N = \exp\left(\frac{-it}{\hbar} \hat{H}\right) ?$$

# 正準量子化と経路積分量子化

(Case 1)  $M = \mathbf{R}^n$ ,  $H(x, p) = \frac{1}{2}|p|^2 + V(x) \in C^\infty(T^*M)$

古典力学	正準量子化	経路積分量子化
$V(x) = O( x ^2) + \text{error.}$ (Fujiwara theory)	$\hat{H} = -\frac{\hbar^2}{2}\Delta + V(x)$	$\lim_{N \rightarrow \infty} [U(\frac{t}{N})]^N$ $= \exp\left(\frac{-it}{\hbar}\hat{H}\right)$
$V(x) = C x ^n$ ( $C > 0$ , $n \geq 4$ )	$\hat{H} = -\frac{\hbar^2}{2}\Delta + V(x)$	$\lim_{N \rightarrow \infty} [U(\frac{t}{N})]^N$ $= \exp\left(\frac{-it}{\hbar}\hat{H}\right) ?$

(Case 2)  $M = \mathbf{S}^2$ ,  $H(x, p) = \frac{1}{2}g_{st}(p, p) = \frac{1}{2}g_{ij}p_i p_j$  (on local charts)

古典力学	幾何学的量子化	経路積分量子化
geodesic flow (various speeds)	prequantization exists real polarization fails! $\hat{H} = -\frac{\hbar^2}{2}(\Delta + \frac{1}{8}) ?$	$\lim_{N \rightarrow \infty} [U(\frac{t}{N})]^N$ $=$ $\exp\left[\frac{-it}{\hbar}\left(-\frac{\hbar^2}{2}(\Delta + \frac{R}{6})\right)\right] ?$

Here  $\Delta = \frac{1}{\sqrt{G}} \frac{\partial}{\partial x^j} (\sqrt{G} g^{ij} \frac{\partial}{\partial x^i})$  and  $R = 2$  (scalar curvature).

# 古典力学とシュレディンガー発展作用素の積分核

(Case 1)  $M = \mathbf{R}^n$ ,  $H(x, p) = \frac{1}{2}|p|^2 + V(x) \in C^\infty(T^*M)$

$$e^{\frac{-it}{\hbar} \hat{H}} f(x) = \int_{\mathbf{R}^n} K(t, x, y) f(y) dy.$$

古典力学	古典力学の軌道	積分核
$V(x) = O( x ^2) + \text{error.}$	time locally global diffeo on config. space	$K(t, x, y)$ $\in C^\infty((0, t) \times \mathbf{R}^{2n})$
$V(x) = C x ^n$ ( $C > 0$ , $n \geq 4$ )	infinite many small periodic curves	If $n = 1$ , $K(t, x, y)$ is nowhere $C^1$

(Case 2)  $M = \mathbf{S}^2$ ,  $H(x, p) = \frac{1}{2}g_{st}(p, p) = \frac{1}{2}g_{ij}p_i p_j$  (on local charts)

$$e^{\frac{-it}{\hbar}(-\frac{\hbar^2}{2}\Delta + \beta R)} f(x) = \int_{\mathbf{S}^2} K(t, x, y) f(y) dy. \quad (\beta \text{ は定数})$$

古典力学	古典力学の軌道	積分核
geodesic flow (various speeds)	infinite many small periodic curves	$K(t, x, y)$ is distribution.

# 導入のまとめ (その1)

- ・色々な量子化の導入がある  
(他にも, deformation quantization など).

# 導入のまとめ (その 1)

- ・色々な量子化の導入がある  
(他にも, deformation quantization など).
- ・幾何学的量子化の場合、 $L^2(M)$  上の線形作用素で表現するための real polarization が取れないこともある.

# 導入のまとめ (その1)

- ・色々な量子化の導入がある  
(他にも, deformation quantization など).
- ・幾何学的量子化の場合、 $L^2(M)$  上の線形作用素で表現するための real polarization が取れないこともある.
- ・量子化された作用素は、定義によって違うかも知れない.

# 導入のまとめ (その1)

- ・色々な量子化の導入がある  
(他にも, deformation quantization など).
- ・幾何学的量子化の場合、 $L^2(M)$  上の線形作用素で表現するための real polarization が取れないこともある.
- ・量子化された作用素は、定義によって違うかも知れない.  
(スペクトル幾何で特別な意味のある作用素は,  $\Delta + \beta R$ )
  - ・ $\beta = 0$  (良く調べられている)
  - ・ $\beta = 1/6$  (geometry of spectrum clustering)
  - ・前量子化の幾何

## 導入のまとめ (その2)

- ・古典力学に応じて、いくらでも短い周期解があるときがある。

## 導入のまとめ (その 2)

- ・ 古典力学に応じて、いくらでも短い周期解があるときがある。
- ・ コンパクトな多様体や高次(4次以上)のポテンシャルを考えると、積分核が特異になる。

## 導入のまとめ (その 2)

- ・ 古典力学に応じて、いくらでも短い周期解があるときがある.
- ・ コンパクトな多様体や高次(4次以上)のポテンシャルを考えると、積分核が特異になる.

(問題解決のヒント)

積分核  $K(t, x, y)$  を  $\hat{H}$  の  $L^2$  正規化された固有関数  $\{u_j(x)\}$  を使って書いてみると、

$$K(t, x, y) = \sum_j e^{\frac{-itE_j}{\hbar}} u_j(x) \overline{u_j(y)}.$$

## 導入のまとめ (その 2)

- ・ 古典力学に応じて、いくらでも短い周期解があるときがある。
- ・ コンパクトな多様体や高次(4次以上)のポテンシャルを考えると、積分核が特異になる。

(問題解決のヒント)

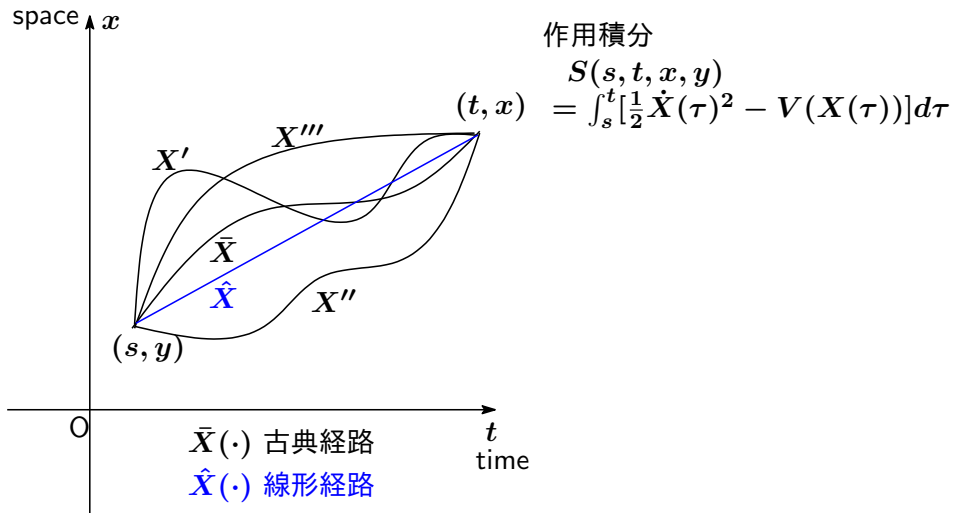
積分核  $K(t, x, y)$  を  $\hat{H}$  の  $L^2$  正規化された固有関数  $\{u_j(x)\}$  を使って書いてみると、

$$K(t, x, y) = \sum_j e^{\frac{-itE_j}{\hbar}} u_j(x) \overline{u_j(y)}.$$

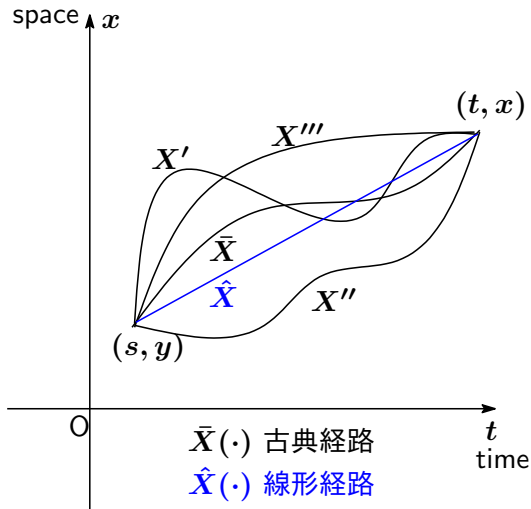
もし  $j$  の有限部分和だけとすれば、 $K_{\text{finite}}(t, x, y) \in C^\infty$ .

(低エネルギーに近い関数に対し、経路積分(無限積)が計算できるかも知れない。)

## §2 Feynman 経路積分



## §2 Feynman 経路積分



作用積分

$$S(s, t, x, y) = \int_s^t [\frac{1}{2} \dot{X}(\tau)^2 - V(X(\tau))] d\tau$$

経路積分とは、経路の和を足し合わせること

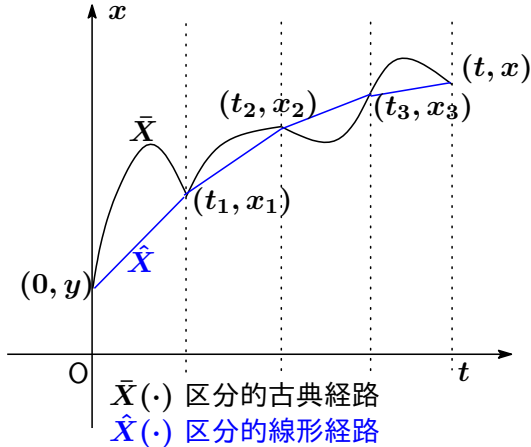
$$\int_{\Omega} e^{\frac{i}{\hbar} S(0, t, x, y)} f(y) \mathcal{D}[X] \\ = e^{\frac{-it}{\hbar} \hat{H}} f(x)$$

$\Omega$  は、 $(0, y)$  と  $(t, x)$  を結ぶ経路  $X$  全体の集合.

$\mathcal{D}[X]$  は  $\Omega$  上の Lebesgue-like な測度.

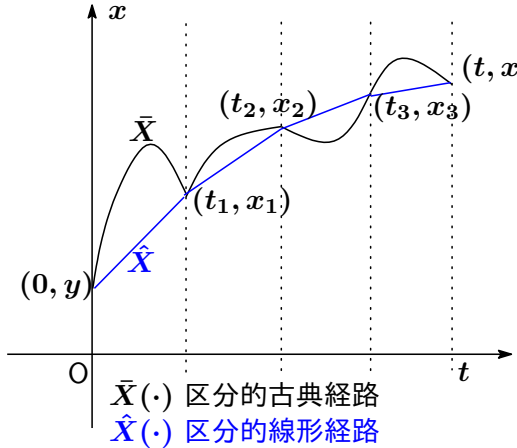
問題点 ファインマン経路積分で導入される cylinder sets 上の集合関数は可算加法族をもつ複素測度に拡張できない (Cameron)

# 時間分割近似法(今回採用する方法)



時間分割して、作用積分を考える。区分的古典経路、  
区分的線形経路(左図)など  
で積分する(色々な流儀)  
経路の密度  $a$  も必要に応じ  
考えて(色々な流儀)。

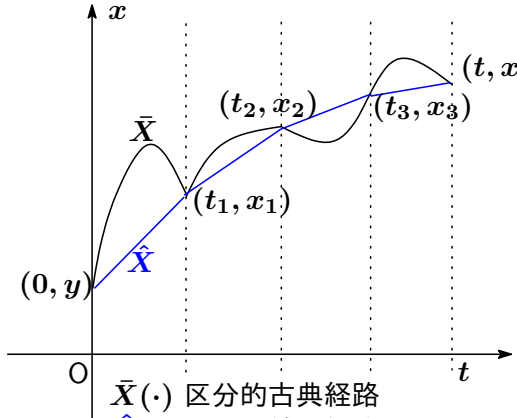
# 時間分割近似法(今回採用する方法)



時間分割して、作用積分を考える。区分的古典経路、  
区分的線形経路(左図)など  
で積分する(色々な流儀)  
経路の密度  $a$  も必要に応じ  
考えて(色々な流儀)。

$$\begin{aligned} & \int_M a(t_j, t_{j+1}, x_j, x_{j+1}) \\ & e^{\frac{i}{\hbar} S(t_j, t_{j+1}, x_j, x_{j+1})} f(x_j) dx_j \\ & = U(t_{j+1} - t_j) f(x_{j+1}) \\ & (\text{small time evolution op.}) \end{aligned}$$

# 時間分割近似法(今回採用する方法)



時間分割して、作用積分を考える。区分的古典経路、  
**区分的線形経路**(左図)など  
 で積分する(色々な流儀)

経路の密度  $a$  も必要に応じ  
 考えて(色々な流儀)。

$$\begin{aligned} & \int_M a(t_j, t_{j+1}, x_j, x_{j+1}) \\ & e^{\frac{i}{\hbar} S(t_j, t_{j+1}, x_j, x_{j+1})} f(x_j) dx_j \\ & = U(t_{j+1} - t_j) f(x_{j+1}) \\ & (\text{small time evolution op.}) \end{aligned}$$

を用いて、**時間分割近似**  
 を次のように定義する

$$\begin{aligned} & \int_M \cdots \int_M \prod_{j=0}^{N-1} a(t_j, t_{j+1}, x_j, x_{j+1}) e^{\frac{i}{\hbar} S(t_j, t_{j+1}, x_j, x_{j+1})} f(y) \prod_{j=0}^{N-1} dx_j \\ & = \left[ \prod_{j=0}^{N-1} U(t_{j+1} - t_j) \right] f(x) \rightarrow \int_{\Omega} e^{\frac{i}{\hbar} S(0, t, x, y)} f(y) \mathcal{D}[X] \quad (N \rightarrow \infty). \end{aligned}$$

# 経路積分を定義する他の方法

経路積分を数学的に厳密に扱うための、いくつかの手段

1. Trotter Kato の公式を、ファインマン積分の数学的正当化とみなす方法
2. プランク定数  $\hbar$  あるいは質量または時間を複素数とし、Wiener 測度を構成し解析接続する方法
3. ヒルベルト空間の新しい広義積分と考える方法  
(伊藤清の方法や Albeverio らの方法など)
4. 超準解析を用いて、ディラック作用素に対する\*測度における光速  $c$  を無限大数に取る方法  
などなど

# 経路積分を定義する他の方法

経路積分を数学的に厳密に扱うための、いくつかの手段

1. Trotter Kato の公式を、ファインマン積分の数学的正当化とみなす方法
2. プランク定数  $\hbar$  あるいは質量または時間を複素数とし、Wiener 測度を構成し解析接続する方法
3. ヒルベルト空間の新しい広義積分と考える方法  
(伊藤清の方法や Albeverio らの方法など)
4. 超準解析を用いて、ディラック作用素に対する\*測度における光速  $c$  を無限大数に取る方法  
などなど

今回、時間分割近似を選んだ理由

他の方法は、作用積分の役割から多様体の曲率を導出できそうにない？

# 藤原先生の結果

Assumption  $V(x) \in C^\infty(\mathbf{R}^n)$ ,  $|\partial^\alpha V(x)| < C_\alpha$  for  $|\alpha| \geq 2$ .

# 藤原先生の結果

Assumption  $V(x) \in C^\infty(\mathbf{R}^n)$ ,  $|\partial^\alpha V(x)| < C_\alpha$  for  $|\alpha| \geq 2$ .

1.  $S(t, x, y) = \int_0^t [\frac{1}{2} \dot{X}(\tau)^2 - V(X(\tau))] d\tau$

(( $0, y$ ) と  $(t, x)$  を結ぶ古典経路の作用積分が局所時間で定義される)

# 藤原先生の結果

Assumption  $V(x) \in C^\infty(\mathbf{R}^n)$ ,  $|\partial^\alpha V(x)| < C_\alpha$  for  $|\alpha| \geq 2$ .

1.  $S(t, x, y) = \int_0^t [\frac{1}{2} \dot{X}(\tau)^2 - V(X(\tau))] d\tau$

((0, y) と (t, x) を結ぶ古典経路の作用積分が局所時間で定義される)

2.  $D(t, x, y) = \det(\partial^2 S(t, x, y) / \partial x \partial y)$  (van Vleck determinant)  
に対し,

$$a(t, x, y) = (2\pi i \hbar)^{-n/2} D(t, x, y)^{1/2} \text{ とおく.}$$

# 藤原先生の結果

Assumption  $V(x) \in C^\infty(\mathbf{R}^n)$ ,  $|\partial^\alpha V(x)| < C_\alpha$  for  $|\alpha| \geq 2$ .

1.  $S(t, x, y) = \int_0^t [\frac{1}{2} \dot{X}(\tau)^2 - V(X(\tau))] d\tau$

((0, y) と (t, x) を結ぶ古典経路の作用積分が局所時間で定義される)

2.  $D(t, x, y) = \det(\partial^2 S(t, x, y) / \partial x \partial y)$  (van Vleck determinant)  
に対し,

$$\mathbf{a}(t, x, y) = (2\pi i \hbar)^{-n/2} D(t, x, y)^{1/2} \text{ とおく.}$$

3.  $U(t)f(x) = \int_{\mathbf{R}^n} \mathbf{a}(t, x, y) e^{\frac{i}{\hbar} S(t, x, y)} f(y) dy$  と定義する.

# 藤原先生の結果

Assumption  $V(x) \in C^\infty(\mathbf{R}^n)$ ,  $|\partial^\alpha V(x)| < C_\alpha$  for  $|\alpha| \geq 2$ .

1.  $S(t, x, y) = \int_0^t [\frac{1}{2} \dot{X}(\tau)^2 - V(X(\tau))] d\tau$

((0, y) と (t, x) を結ぶ古典経路の作用積分が局所時間で定義される)

2.  $D(t, x, y) = \det(\partial^2 S(t, x, y) / \partial x \partial y)$  (van Vleck determinant)  
に対し,

$$a(t, x, y) = (2\pi i\hbar)^{-n/2} D(t, x, y)^{1/2} \text{ とおく.}$$

3.  $U(t)f(x) = \int_{\mathbf{R}^n} a(t, x, y) e^{\frac{i}{\hbar} S(t, x, y)} f(y) dy$  と定義する.

## Theorem (Fujiwara)

$t > 0$  をとる.

$$\lim_{N \rightarrow \infty} [U(\frac{t}{N})]^N = \exp \frac{-it}{\hbar} [-\frac{\hbar^2}{2} \Delta + V(x)] \quad (\text{作用素ノルム})$$

# 一ノ瀬弥先生の結果

Assumption  $V(x) \in C^\infty(\mathbf{R}^n)$ ,  $|\partial^\alpha V(x)| < C_\alpha$  for  $|\alpha| \geq 2$ .

# 一ノ瀬弥先生の結果

Assumption  $V(x) \in C^\infty(\mathbf{R}^n)$ ,  $|\partial^\alpha V(x)| < C_\alpha$  for  $|\alpha| \geq 2$ .

1.  $S(t, x, y) = \int_0^t [\frac{1}{2} \dot{\mathbf{X}}(\tau)^2 - V(X(\tau))] d\tau$

((0, y) と (t, x) を結ぶ区分的線形経路の作用積分)

# 一ノ瀬弥先生の結果

Assumption  $V(x) \in C^\infty(\mathbf{R}^n)$ ,  $|\partial^\alpha V(x)| < C_\alpha$  for  $|\alpha| \geq 2$ .

1.  $S(t, x, y) = \int_0^t [\frac{1}{2} \dot{\mathbf{X}}(\tau)^2 - V(X(\tau))] d\tau$

(( $0, y$ ) と  $(t, x)$  を結ぶ区分的線形経路の作用積分)

2.  $a(t, x, y) = (2\pi i h)^{-n/2}$  とおく.

# 一ノ瀬弥先生の結果

Assumption  $V(x) \in C^\infty(\mathbf{R}^n)$ ,  $|\partial^\alpha V(x)| < C_\alpha$  for  $|\alpha| \geq 2$ .

1.  $S(t, x, y) = \int_0^t [\frac{1}{2} \dot{\mathbf{X}}(\tau)^2 - V(X(\tau))] d\tau$

(( $0, y$ ) と  $(t, x)$  を結ぶ区分的線形経路の作用積分)

2.  $a(t, x, y) = (2\pi i h)^{-n/2}$  とおく.

3.  $U(t)f(x) = \int_{\mathbf{R}^n} a(t, x, y) e^{\frac{i}{\hbar} S(t, x, y)} f(y) dy$  と定義する.

# 一ノ瀬弥先生の結果

Assumption  $V(x) \in C^\infty(\mathbf{R}^n)$ ,  $|\partial^\alpha V(x)| < C_\alpha$  for  $|\alpha| \geq 2$ .

1.  $S(t, x, y) = \int_0^t [\frac{1}{2} \dot{\mathbf{X}}(\tau)^2 - V(X(\tau))] d\tau$

(( $0, y$ ) と  $(t, x)$  を結ぶ区分的線形経路の作用積分)

2.  $a(t, x, y) = (2\pi i h)^{-n/2}$  とおく.

3.  $U(t)f(x) = \int_{\mathbf{R}^n} a(t, x, y) e^{\frac{i}{h} S(t, x, y)} f(y) dy$  と定義する.

Theorem (W.Ichinose)

$t > 0$  をとる.

$$\lim_{N \rightarrow \infty} [U(\frac{t}{N})]^N f(x) = \exp \frac{-it}{h} [-\frac{h^2}{2} \Delta + V(x)] f(x) \quad (L^2\text{-strong})$$

## いくつかの注意

1. van Vleck determinant  $D(t, x, y)$  は, 連續の方程式を満たす.

$$\frac{\partial}{\partial t} D + \nabla \cdot [D \nabla S] = 0.$$

## いくつかの注意

1. van Vleck determinant  $D(t, x, y)$  は, 連續の方程式を満たす.

$$\frac{\partial}{\partial t} D + \nabla \cdot [D \nabla S] = 0.$$

2.  $S(t, x, y)$  と  $a(t, x, y)$  の取り方に, 多少の ambiguity がある.

# いくつかの注意

1. van Vleck determinant  $D(t, x, y)$  は, 連續の方程式を満たす.  
$$\frac{\partial}{\partial t} D + \nabla \cdot [D \nabla S] = 0.$$
2.  $S(t, x, y)$  と  $a(t, x, y)$  の取り方に, 多少の ambiguity がある.
3. 証明は,  $U(t)$  の大域的  $L^2$  有界性を用いる.

(Cotlar Stein lemma, Calderon-Vaillancourt theorem,  
Hadamard's global inverse function theorem の利用)

# いくつかの注意

1. van Vleck determinant  $D(t, x, y)$  は, 連續の方程式を満たす.  
$$\frac{\partial}{\partial t} D + \nabla \cdot [D \nabla S] = 0.$$
2.  $S(t, x, y)$  と  $a(t, x, y)$  の取り方に, 少少の ambiguity がある.
3. 証明は,  $U(t)$  の大域的  $L^2$  有界性を用いる.

(Cotlar Stein lemma, Calderon-Vaillancourt theorem,  
Hadamard's global inverse function theorem の利用)

$$\forall \varepsilon > 0, \exists T > 0 \text{ s.t. } 0 < t < T \Rightarrow$$

$$\|U(t)f\|_{L^2} \leq (1 + Ct) \|f\|_{L^2} \quad \cdots (1)$$

$$\|U(t)f - \exp \frac{-it}{\hbar} \hat{H} f\|_{L^2} < \varepsilon t \|f\|_{L^2} \quad \cdots (2)$$

# いくつかの注意

1. van Vleck determinant  $D(t, x, y)$  は, 連續の方程式を満たす.  
$$\frac{\partial}{\partial t} D + \nabla \cdot [D \nabla S] = 0.$$
2.  $S(t, x, y)$  と  $a(t, x, y)$  の取り方に, 少少の ambiguity がある.
3. 証明は,  $U(t)$  の大域的  $L^2$  有界性を用いる.

(Cotlar Stein lemma, Calderon-Vaillancourt theorem,  
Hadamard's global inverse function theorem の利用)

$\forall \varepsilon > 0, \exists T > 0$  s.t.  $0 < t < T \Rightarrow$

$$\|U(t)f\|_{L^2} \leq (1 + Ct) \|f\|_{L^2} \quad \cdots (1)$$

$$\|U(t)f - \exp \frac{-it}{\hbar} \hat{H} f\|_{L^2} < \varepsilon t \|f\|_{L^2} \quad \cdots (2)$$

球面上や高次ポテンシャルに対しても, (1), (2) に対応する評価を考えたい.

## §3 球面上の経路積分(最短経路と低エネルギー近似)

### Setting

## §3 球面上の経路積分(最短経路と低エネルギー近似)

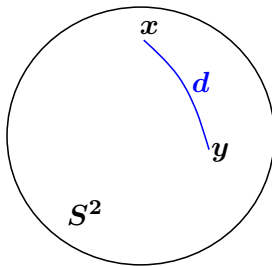
### Setting

$$1. (M, g) = (S^2, g_{st}) \quad (\mathbf{R}^3 \text{ 内の } 2 \text{ 次元単位球面})$$

## §3 球面上の経路積分(最短経路と低エネルギー近似)

### Setting

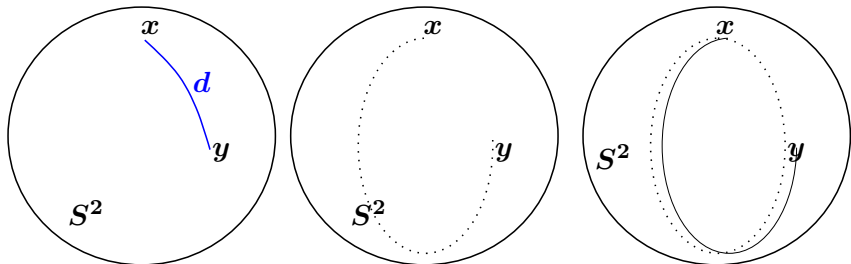
1.  $(M, g) = (S^2, g_{st})$  ( $\mathbf{R}^3$  内の 2 次元単位球面)
2.  $d = d(x, y) = \arccos(\vec{x} \cdot \vec{y})$  (測地距離)



### §3 球面上の経路積分(最短経路と低エネルギー近似)

#### Setting

- $(M, g) = (S^2, g_{st})$  ( $\mathbf{R}^3$  内の 2 次元単位球面)
- $d = d(x, y) = \arccos(\vec{x} \cdot \vec{y})$  (測地距離)



$(d \geq \pi$  となる距離  $d$  は考えない)

## §3 球面上の経路積分(最短経路と低エネルギー近似)

Setting のつづき

## §3 球面上の経路積分(最短経路と低エネルギー近似)

Setting のつづき

$$3. S(t, x, y) = \int_0^t \frac{1}{2} g_{x(t)}(\dot{x}(t), \dot{x}(t)) dt = \frac{|d(x, y)|^2}{2t}$$

(最短距離の作用積分)

## §3 球面上の経路積分(最短経路と低エネルギー近似)

### Setting のつづき

3.  $S(t, x, y) = \int_0^t \frac{1}{2} g_{x(t)}(\dot{x}(t), \dot{x}(t)) dt = \frac{|d(x, y)|^2}{2t}$

(最短距離の作用積分)

### 4. 多様体の van Vleck determinant

$$D(t, x, y) = G^{-1/2}(x)G^{-1/2}(y) \det(\partial^2 S(t, x, y)/\partial x \partial y)$$

$\chi(d(x, y))$  : cut off

(bump ft. with compact support contained in  $d(x, y) < \pi.$ )

$$a(t, x, y) = \chi(d(x, y)) D(t, x, y)^{1/2}$$

## §3 球面上の経路積分(最短経路と低エネルギー近似)

### Setting のつづき

3.  $S(t, x, y) = \int_0^t \frac{1}{2} g_{x(t)}(\dot{x}(t), \dot{x}(t)) dt = \frac{|d(x, y)|^2}{2t}$

(最短距離の作用積分)

### 4. 多様体の van Vleck determinant

$$D(t, x, y) = G^{-1/2}(x)G^{-1/2}(y) \det(\partial^2 S(t, x, y)/\partial x \partial y)$$

$\chi(d(x, y))$  : cut off

(bump ft. with compact support contained in  $d(x, y) < \pi.$ )

$$a(t, x, y) = \chi(d(x, y)) D(t, x, y)^{1/2}$$

Definition (Shortest path approximations on  $S^2$ )

$$U(t)f(x) \equiv (2\pi i)^{-1} \int_{S^2} a(t, x, y) e^{iS(t, x, y)} f(y) dy$$

(注意. 以下, 簡単のために  $h = 1$  とする.)

## §3 球面上の経路積分(最短経路と低エネルギー近似)

Setting のつづき

### §3 球面上の経路積分(最短経路と低エネルギー近似)

Setting のつづき

$$-\Delta_{S^2} = \int_{\mathbf{R}} E d\rho(E) : \text{球面ラプラシアンのスペクトル分解}$$

### §3 球面上の経路積分(最短経路と低エネルギー近似)

Setting のつづき

$$-\Delta_{S^2} = \int_{\mathbf{R}} E d\rho(E) : \text{球面ラプラシアンのスペクトル分解}$$

注意.

### §3 球面上の経路積分(最短経路と低エネルギー近似)

Setting のつづき

$$-\Delta_{S^2} = \int_{\mathbf{R}} E d\rho(E) : \text{球面ラプラシアンのスペクトル分解}$$

注意.

$$\{u_j, E_j\} : \text{球面ラプラシアンの固有関数展開}$$

### §3 球面上の経路積分(最短経路と低エネルギー近似)

#### Setting のつづき

$-\Delta_{S^2} = \int_{\mathbf{R}} E d\rho(E)$  : 球面ラプラシアンのスペクトル分解

注意.

$\{u_j, E_j\}$  : 球面ラプラシアンの固有関数展開

( $\{u_j\}$  は  $L^2(S^2)$  の正規直交基底,  $E_j$  は固有値)

### §3 球面上の経路積分(最短経路と低エネルギー近似)

#### Setting のつづき

$-\Delta_{S^2} = \int_{\mathbf{R}} E d\rho(E)$  : 球面ラプラシアンのスペクトル分解

注意.

$\{u_j, E_j\}$  : 球面ラプラシアンの固有関数展開

( $\{u_j\}$  は  $L^2(S^2)$  の正規直交基底,  $E_j$  は固有値)

$\rho(E) : L^2(S^2) \rightarrow \text{L.h.}\{u_j \mid E_j \leq E\}$  : spectral projector  
(低エネルギーへの射影)

### §3 球面上の経路積分 結果(その1)

Theorem (operator norm)

$t > 0$ . 十分小さい  $\varepsilon > 0$  に対し

$$\lim_{N \rightarrow \infty} [U(t/N)]^N \rho(N^{1/3-\varepsilon}) = \exp \left[ -it \left( -\frac{1}{2}(\Delta + \frac{R}{6}) \right) \right] \text{ in } L^2$$

### §3 球面上の経路積分 結果(その1)

#### Theorem (operator norm)

$t > 0$ . 十分小さい  $\varepsilon > 0$  に対し

$$\lim_{N \rightarrow \infty} [U(t/N)]^N \rho(N^{1/3-\varepsilon}) = \exp \left[ -it \left( -\frac{1}{2}(\Delta + \frac{R}{6}) \right) \right] \text{ in } L^2$$

#### Theorem (strong limits)

$t > 0$  に対し

$$s\text{-}\lim_{N \rightarrow \infty} [U(t/N)]^N \rho(N) f(x) = \exp \left[ -it \left( -\frac{1}{2}(\Delta + \frac{R}{6}) \right) \right] f(x) \text{ in } L^2$$

### §3 球面上の経路積分 結果(その1)

#### Theorem (operator norm)

$t > 0$ . 十分小さい  $\varepsilon > 0$  に対し

$$\lim_{N \rightarrow \infty} [U(t/N)]^N \rho(N^{1/3-\varepsilon}) = \exp \left[ -it \left( -\frac{1}{2}(\Delta + \frac{R}{6}) \right) \right] \text{ in } L^2$$

#### Theorem (strong limits)

$t > 0$  に対し

$$s\text{-}\lim_{N \rightarrow \infty} [U(t/N)]^N \rho(N) f(x) = \exp \left[ -it \left( -\frac{1}{2}(\Delta + \frac{R}{6}) \right) \right] f(x) \text{ in } L^2$$

#### Corollary

$u_j$  をラプラシアンの固有関数とし,  $t > 0$  とする.

$$s\text{-}\lim_{N \rightarrow \infty} [U(t/N)]^N u_j = \exp \left[ -it \left( -\frac{1}{2}(\Delta + \frac{R}{6}) \right) \right] u_j \text{ in } L^2$$

### §3 球面上の経路積分 結果

注意 1.

$t > 0$  に対し

$$\lim_{N \rightarrow \infty} \| [U(t/N)]^N - \exp \left[ -it \left( -\frac{1}{2}(\Delta + \frac{R}{6}) \right) \right] \|_{L^2} \neq 0.$$

(spectral projector なしで, operator norm の収束は成立しない)

### §3 球面上の経路積分 結果

注意 1.

$t > 0$  に対し

$$\lim_{N \rightarrow \infty} \| [U(t/N)]^N - \exp \left[ -it \left( -\frac{1}{2}(\Delta + \frac{R}{6}) \right) \right] \|_{L^2} \neq 0.$$

(spectral projector なしで, operator norm の収束は成立しない)

注意 2.

$f(x) \in G_{1/6}(S^2)$  (Gevrey class) とする.  $t > 0$  に対し

$$s\text{-}\lim_{N \rightarrow \infty} [U(t/N)]^N f(x) = \exp \left[ -it \left( -\frac{1}{2}(\Delta + \frac{R}{6}) \right) \right] f(x) \text{ in } L^2.$$

(低エネルギー関数に対しては, 収束する)

直観的には、最短経路近似は高エネルギーの関数が逃げてしまう.

### §3 球面上の経路積分 色々

他の方法で求められる積分核と等号で結んでみる.

$f(x) \in C^\infty(S^2)$  とし,  $t = \frac{8\pi m}{k} \in \mathbf{Q}$  ( $k$  と  $m$  を互いに素とする.)

### §3 球面上の経路積分 色々

他の方法で求められる積分核と等号で結んでみる.

$f(x) \in C^\infty(S^2)$  とし,  $t = \frac{8\pi m}{k} \in \mathbf{Q}$  ( $k$  と  $m$  を互いに素とする.)

$$\begin{aligned} & s\text{-}\lim_{N \rightarrow \infty} \{U(8\pi m/kN)\}^N \rho(N) f(x) \\ &= \int_{S^2} \sum_{l=0}^{\infty} \left(\frac{2l+1}{4\pi}\right) e^{-4\pi i \{3ml(l+1)+1\}/3k} C_l^{1/2}(\cos d(x, y)) f(y) dy \\ &= \left\{ e^{2\pi i m/3k} \sum_{j=0}^{2k-1} \Gamma(m, k, j) \cos \frac{2\pi j}{k} A \right\} f(x) \end{aligned}$$

### §3 球面上の経路積分 色々

他の方法で求められる積分核と等号で結んでみる.

$f(x) \in C^\infty(S^2)$  とし,  $t = \frac{8\pi m}{k} \in \mathbf{Q}$  ( $k$  と  $m$  を互いに素とする.)

$$\begin{aligned} & s\text{-}\lim_{N \rightarrow \infty} \{U(8\pi m/kN)\}^N \rho(N) f(x) \\ &= \int_{S^2} \sum_{l=0}^{\infty} \left(\frac{2l+1}{4\pi}\right) e^{-4\pi i \{3ml(l+1)+1\}/3k} C_l^{1/2}(\cos d(x, y)) f(y) dy \\ &= \left\{ e^{2\pi i m/3k} \sum_{j=0}^{2k-1} \Gamma(m, k, j) \cos \frac{2\pi j}{k} A \right\} f(x) \end{aligned}$$

ただし,  $\Gamma(m, k, j) = \frac{1}{2\pi} \sum_{l=0}^{2k-1} e^{\pi i (l^2 m + lj)/k}$  は Gauss 和,

$$A = \sqrt{-\Delta + \frac{1}{4}},$$

$C_l$  : Gegenbauer polynomials are defined by

$$\frac{1}{(1-2xt+t^2)^{1/2}} = \sum_{l=0}^{\infty} C_l^{1/2}(x) t^l.$$

### §3 色々と

Shell game (not rigorous!).

For small  $t > 0$ ,

$$\int_{\Omega} e^{iS(0,t,x,x)} \mathcal{D}[X] \\ \sim \frac{1}{2\pi it} \exp(iS(0,t,x,x) + \frac{iRt}{12}) \sim \sum_{\substack{l=0,1,\dots \\ -l \leq m \leq l}} e^{-it\frac{l(l+1)}{2}} |Y_{l,m}(x)|^2.$$

$S(0,t,x,x) = 0$  とし, trace の実部を計算.

### §3 色々と

Shell game (not rigorous!).

For small  $t > 0$ ,

$$\int_{\Omega} e^{iS(0,t,x,x)} \mathcal{D}[X] \sim \frac{1}{2\pi it} \exp(iS(0,t,x,x) + \frac{iRt}{12}) \sim \sum_{\substack{l=0,1,\dots \\ -l \leq m \leq l}} e^{-it\frac{l(l+1)}{2}} |Y_{l,m}(x)|^2.$$

$S(0,t,x,x) = 0$  とし, trace の実部を計算.

$$\operatorname{Re} \left[ \frac{1}{2\pi it} \int_{S^2} \exp \left( \frac{iRt}{12} \right) dx \right] \sim \operatorname{Re} \sum_{\substack{l=0,1,\dots \\ -l \leq m \leq l}} e^{-it\frac{l(l+1)}{2}}$$

### §3 色々と

Shell game (not rigorous!).

For small  $t > 0$ ,

$$\int_{\Omega} e^{iS(0,t,x,x)} \mathcal{D}[X] \sim \frac{1}{2\pi it} \exp(iS(0,t,x,x) + \frac{iRt}{12}) \sim \sum_{\substack{l=0,1,\dots \\ -l \leq m \leq l}} e^{-it\frac{l(l+1)}{2}} |Y_{l,m}(x)|^2.$$

$S(0,t,x,x) = 0$  とし, trace の実部を計算.

$$\operatorname{Re} \left[ \frac{1}{2\pi it} \int_{S^2} \exp \left( \frac{iRt}{12} \right) dx \right] \sim \operatorname{Re} \sum_{\substack{l=0,1,\dots \\ -l \leq m \leq l}} e^{-it\frac{l(l+1)}{2}}$$

$t \rightarrow 0$  とし,  $\zeta(x)$  をリーマンゼータ関数とすると,

$$\begin{aligned} \int_{S^2} \left( \frac{R}{24\pi} \right) dx &= 1 + \sum_{l=1,2,\dots} (2l+1) \\ &= 1 + 2\zeta(-1) + \zeta(0) \\ &= 1 + 2\left(\frac{-1}{12}\right) + \left(\frac{-1}{2}\right) = \frac{1}{3} \text{ (correct)} \end{aligned}$$

### §3 色々と (私の知りたい事)

続き (一般の 2 次元多様体,  $h$ -small) (not rigorous!).

For small  $t > 0$ ,

$$\int_{\Omega} e^{\frac{i}{h}S(0,t,x,x)} \mathcal{D}[X] \\ \sim \frac{1}{2\pi i h t} \exp\left(\frac{i}{h}S(0,t,x,x) + \frac{ihRt}{12}\right) \sim \sum_{j=1,\dots} e^{\frac{-itE_j}{h}} |u_j(x)|^2.$$

$S(0, t, x, x) = 0$  とし, trace の時間積分 ( $t_1 \leqq t \leqq t_2$ ) を計算.

### §3 色々と (私の知りたい事)

続き (一般の 2 次元多様体,  $h$ -small) (not rigorous!).

For small  $t > 0$ ,

$$\int_{\Omega} e^{\frac{i}{h} S(0,t,x,x)} \mathcal{D}[X] \\ \sim \frac{1}{2\pi i h t} \exp\left(\frac{i}{h} S(0,t,x,x) + \frac{ihRt}{12}\right) \sim \sum_{j=1,\dots} e^{\frac{-itE_j}{h}} |u_j(x)|^2.$$

$S(0,t,x,x) = 0$  とし, trace の時間積分 ( $t_1 \leqq t \leqq t_2$ ) を計算.

$$\int_{t_1}^{t_2} \int_M \frac{1}{2\pi i h t} \exp\left(\frac{ihRt}{12}\right) dx dt \sim \sum_{j=1,\dots} \frac{ih}{E_j} e^{\frac{-i(t_2-t_1)E_j}{h}}$$

### §3 色々と (私の知りたい事)

続き (一般の 2 次元多様体,  $h$ -small) (not rigorous!).

For small  $t > 0$ ,

$$\int_{\Omega} e^{\frac{i}{h} S(0,t,x,x)} \mathcal{D}[X] \\ \sim \frac{1}{2\pi i h t} \exp\left(\frac{i}{h} S(0,t,x,x) + \frac{ihRt}{12}\right) \sim \sum_{j=1,\dots} e^{\frac{-itE_j}{h}} |u_j(x)|^2.$$

$S(0,t,x,x) = 0$  とし, trace の時間積分 ( $t_1 \leqq t \leqq t_2$ ) を計算.

$$\int_{t_1}^{t_2} \int_M \frac{1}{2\pi i h t} \exp\left(\frac{ihRt}{12}\right) dx dt \sim \sum_{j=1,\dots} \frac{ih}{E_j} e^{\frac{-i(t_2-t_1)E_j}{h}}$$



$$\sim \sum_{\gamma: \text{closed geodesic}} h e^{iS_\gamma/h} \frac{c_\gamma e^{\frac{\pi im_\gamma}{4}}}{\sqrt{\det(I - P_\gamma)}} ?$$

### §3 色々と (私の知りたい事)

続き (一般の 2 次元多様体,  $h$ -small) (not rigorous!).

For small  $t > 0$ ,

$$\int_{\Omega} e^{\frac{i}{h} S(0,t,x,x)} \mathcal{D}[X] \\ \sim \frac{1}{2\pi i h t} \exp\left(\frac{i}{h} S(0,t,x,x) + \frac{i h R t}{12}\right) \sim \sum_{j=1,\dots} e^{\frac{-i t E_j}{h}} |u_j(x)|^2.$$

$S(0,t,x,x) = 0$  とし, trace の時間積分 ( $t_1 \leq t \leq t_2$ ) を計算.

$$\int_{t_1}^{t_2} \int_M \frac{1}{2\pi i h t} \exp\left(\frac{i h R t}{12}\right) dx dt \sim \sum_{j=1,\dots} \frac{i h}{E_j} e^{\frac{-i(t_2-t_1)E_j}{h}}$$



$$\sim \sum_{\gamma: \text{closed geodesic}} h e^{i S_\gamma / h} \frac{c_\gamma e^{\frac{\pi i m_\gamma}{4}}}{\sqrt{\det(I - P_\gamma)}} ?$$

(Low energy, time local) Gutzwiller trace formula can be found  
in [Gu-St] (§11.5.3. p.301)

## §4 高次ポテンシャルに対する経路積分 (最短線形経路と低エネルギー近似)

Setting(1 次元 高次ポテンシャル)

## §4 高次ポテンシャルに対する経路積分 (最短線形経路と低エネルギー近似)

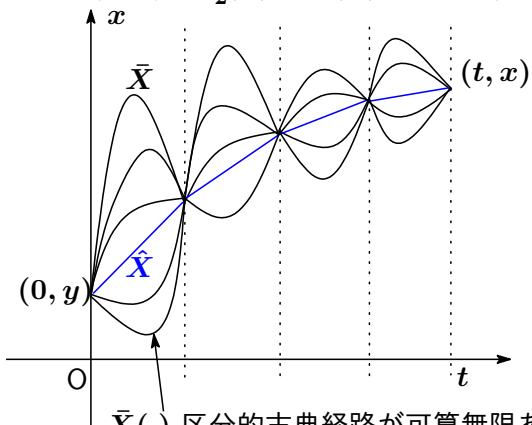
Setting(1 次元 高次ポテンシャル)

$$1. \ H(x, p) = \frac{1}{2}|p|^2 + c|x|^n \in C^\infty(T^*\mathbf{R}), \quad (c > 0, n \geq 4).$$

## §4 高次ポテンシャルに対する経路積分 (最短線形経路と低エネルギー近似)

Setting(1 次元 高次ポテンシャル)

1.  $H(x, p) = \frac{1}{2}|p|^2 + c|x|^n \in C^\infty(T^*\mathbf{R})$ ,  $(c > 0, n \geq 4)$ .

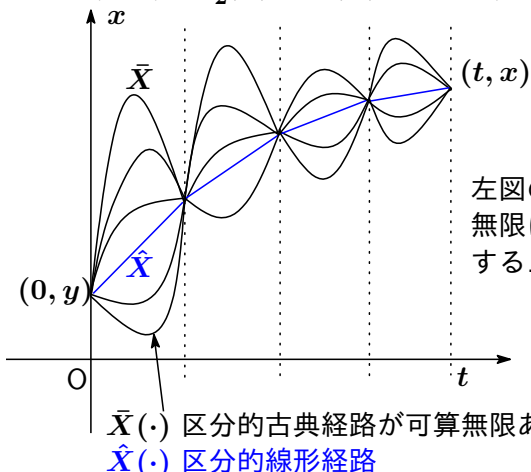


$\bar{X}(\cdot)$  区分的古典経路が可算無限ある  
 $\hat{X}(\cdot)$  区分的線形経路

## §4 高次ポテンシャルに対する経路積分 (最短線形経路と低エネルギー近似)

Setting(1 次元 高次ポテンシャル)

1.  $H(x, p) = \frac{1}{2}|p|^2 + c|x|^n \in C^\infty(T^*\mathbf{R})$ , ( $c > 0, n \geq 4$ ).



左図のように、微小時間ごとに無限に多くの古典経路が存在する。

## §4 高次ポテンシャルに対する経路積分 (最短線形経路と低エネルギー近似)

Setting のつづき

## §4 高次ポテンシャルに対する経路積分 (最短線形経路と低エネルギー近似)

Setting のつづき

$$\begin{aligned} 2. \quad S(t, x, y) &= \int_0^t L(\hat{X}(s), \dot{\hat{X}}(s)) ds \\ &= \frac{(y-x)^2}{2t} - \frac{ct}{n+1} \left( \frac{y^{n+1}-x^{n+1}}{y-x} \right) \text{ (線形経路の作用積分)} \end{aligned}$$

## §4 高次ポテンシャルに対する経路積分 (最短線形経路と低エネルギー近似)

Setting のつづき

$$\begin{aligned} 2. \quad S(t, x, y) &= \int_0^t L(\hat{X}(s), \dot{\hat{X}}(s)) ds \\ &= \frac{(y-x)^2}{2t} - \frac{ct}{n+1} \left( \frac{y^{n+1}-x^{n+1}}{y-x} \right) \text{ (線形経路の作用積分)} \end{aligned}$$

Lemma (one path condition)

Let  $C_0 < 2\sqrt{2}$  and  $t > 0$ . Then the classical motion satisfying  $|\hat{X}(s)|t|^{2/(n-2)} < C_0$  for all  $0 \leq s \leq t$  is one at most.

3. van Vleck determinant

$$D(t, x, y) = \partial^2 S(t, x, y) / \partial x \partial y$$

$\chi_t(x, y) \equiv \chi(t^{2/(n-2)}x, t^{2/(n-2)}y)$  : cut off  
(bump ft. with compact support contained in  $|x| < C_1, |y| < C_1$ .)

$$a(t, x, y) = \chi_t(x, y) D(t, x, y)^{1/2}$$

## §4 高次ポテンシャルに対する経路積分 (最短線形経路と低エネルギー近似)

Setting のつづき

Definition (Shortest path approximations)

$$U(t)f(x) \equiv (2\pi i)^{-1/2} \int_{\mathbf{R}} \mathbf{a}(t, \mathbf{x}, \mathbf{y}) e^{iS(t, \mathbf{x}, \mathbf{y})} f(y) dy$$

球面のときと同じようにスペクトル分解を考える.

$$-\frac{1}{2}\Delta + c|x|^n = \int_{\mathbf{R}} E d\rho(E) : \text{スペクトル分解}$$

Zanelli の h-small calculus の記号にならって,

Definition (Low energy shortest path approximations)

$$U(t, E) \equiv \rho(E)U(t)$$

(低エネルギーへの射影)

## §4 高次ポテンシャルに対する経路積分 (結果)

Theorem (Time slicing products and the strong limits)

Let  $E_N = o(N^{n/2n-2})$  and  $E_N \rightarrow \infty$  as  $N \rightarrow \infty$ . We have

$$s\text{-}\lim_{N \rightarrow \infty} [U(t/N, E_N)]^N f(x) = e^{-it\hat{H}} f(x) \quad \text{in } L^2(\mathbf{R})$$

注意.  $n = 2$  なら,  $\chi_t(x, y) \equiv \chi(t^{2/(n-2)}x, t^{2/(n-2)}y)$  は,  
普通の振動積分の定義と思い直せる. さらに,  $\rho(E)$  も  
必要ない.

注意. 区分的古典経路を使えば,  
もっと良い近似が得られるかも知れない.

## §5.1 証明の概要

Case 1 ( $M = \mathbf{R}^n$ ,  $V(x) = O(x^2)$ ) を思い出す.

## §5.1 証明の概要

Case 1 ( $M = \mathbf{R}^n$ ,  $V(x) = O(x^2)$ ) を思い出す.

$\forall \varepsilon > 0$ ,  $\exists T > 0$  s.t.  $0 < t < T \Rightarrow$

$$\|U(t)f\|_{L^2} \leq (1 + Ct)\|f\|_{L^2} \quad \cdots (1)$$

$$\|U(t)f - \exp \frac{-it}{\hbar} \hat{H} f\|_{L^2} < \varepsilon t \quad \cdots (2)$$

## §5.1 証明の概要

Case 1 ( $M = \mathbf{R}^n$ ,  $V(x) = O(x^2)$ ) を思い出す.

$\forall \varepsilon > 0$ ,  $\exists T > 0$  s.t.  $0 < t < T \Rightarrow$

$$\|U(t)f\|_{L^2} \leq (1 + Ct)\|f\|_{L^2} \quad \cdots (1)$$

$$\|U(t)f - \exp \frac{-it}{h} \hat{H} f\|_{L^2} < \varepsilon t \quad \cdots (2)$$

2 次元球面上で, (1), (2) に対応する評価.

## §5.1 証明の概要

Case 1 ( $M = \mathbf{R}^n$ ,  $V(x) = O(x^2)$ ) を思い出す.

$\forall \varepsilon > 0$ ,  $\exists T > 0$  s.t.  $0 < t < T \Rightarrow$

$$\|U(t)f\|_{L^2} \leq (1 + Ct)\|f\|_{L^2} \quad \cdots (1)$$

$$\|U(t)f - \exp \frac{-it}{h} \hat{H} f\|_{L^2} < \varepsilon t \quad \cdots (2)$$

2 次元球面上で, (1), (2) に対応する評価.

$\hat{H} = -\frac{1}{2}(\Delta_{S^2} + \frac{R}{6})$  とすると,

## §5.1 証明の概要

Case 1 ( $M = \mathbf{R}^n$ ,  $V(x) = O(x^2)$ ) を思い出す.

$\forall \varepsilon > 0$ ,  $\exists T > 0$  s.t.  $0 < t < T \Rightarrow$

$$\|U(t)f\|_{L^2} \leq (1 + Ct)\|f\|_{L^2} \quad \cdots (1)$$

$$\|U(t)f - \exp \frac{-it}{h} \hat{H} f\|_{L^2} < \varepsilon t \quad \cdots (2)$$

2 次元球面上で, (1), (2) に対応する評価.

$\hat{H} = -\frac{1}{2}(\Delta_{S^2} + \frac{R}{6})$  とすると,

$$\|U(t)f\|_{L^2} \leq (1 + C_1 t)\|f\|_{L^2} + C_2 t^2 \|(-\Delta_{S^2} + 1)f\|_{L^2} \quad \cdots (3)$$

$$\|U(t)f - \exp(-it\hat{H})f\|_{L^2} \leq \frac{C_3 t^2}{2} \|(-\Delta_{S^2} + 1)^3 f\|_{L^2} \quad \cdots (4)$$

## §5.1 証明の概要

Case 1 ( $M = \mathbf{R}^n$ ,  $V(x) = O(x^2)$ ) を思い出す.

$\forall \varepsilon > 0$ ,  $\exists T > 0$  s.t.  $0 < t < T \Rightarrow$

$$\|U(t)f\|_{L^2} \leq (1 + Ct)\|f\|_{L^2} \quad \cdots (1)$$

$$\|U(t)f - \exp \frac{-it}{h} \hat{H} f\|_{L^2} < \varepsilon t \quad \cdots (2)$$

2 次元球面上で, (1), (2) に対応する評価.

$\hat{H} = -\frac{1}{2}(\Delta_{S^2} + \frac{R}{6})$  とすると,

$$\|U(t)f\|_{L^2} \leq (1 + C_1 t)\|f\|_{L^2} + C_2 t^2 \|(-\Delta_{S^2} + 1)f\|_{L^2} \quad \cdots (3)$$

$$\|U(t)f - \exp(-it\hat{H})f\|_{L^2} \leq \frac{C_3 t^2}{2} \|(-\Delta_{S^2} + 1)^3 f\|_{L^2} \quad \cdots (4)$$

Super-quadratic potential に対する評価.

$\hat{H} = -\frac{h^2}{2}\Delta + V(x)$  とすると,

$$\|[U(t, E) - e^{\frac{-it\hat{H}}{h}}]\rho(E)\|_{L^2} \leq \frac{Ct^2}{2}(E^{2-2/n} + 1)\|f(x)\|_{L^2} \quad \cdots (5)$$